

Evaluation of prognostic factors affecting long and short term survival rates of Hodgkin's lymphoma patients using the cure fraction models

Elhaei A¹, Saki Malehi A², Seghatoleslam M³

1.MSc of Biostatistics and Epidemiology, Department of Biostatistics and Epidemiology, Faculty of Public Health, Ahvaz Jundishapur University of Medical Sciences, Ahvaz, Iran.

2. Assistant Professor of Biostatistics and Epidemiology, Department of Biostatistics and Epidemiology, Faculty of Public Health, Research Center of Thalassemia & Hemoglobinopathy, Ahvaz Jundishapur University of Medical Sciences, Ahvaz, Iran, Iran, (Corresponding Author) Tel: +98-61-31615331, Email: amalsaki@gmail.com

3. Oncology Specialist, Faculty of Medicine, Ahvaz Jundishapur University of Medical Sciences, Ahvaz, Iran.

ABSTRACT

Background and Aim: This study aimed to analyze the factors affecting time and experience of relapse in the patients with Hodgkin's lymphoma, using cure fraction.

Material and Methods: This retrospective study included all the patients diagnosed as Hodgkin's lymphoma in the Center for oncology and hematology in Shafa Hospital in Ahwaz City from 2002 to 2012. We used survival analysis and cure fraction models In order to answer the question, "why are some people in the study don't experience recurrence?". We used mixture and nonmixture cure models using Weibull, exponential, log-normal, log-logistic and gamma distributions, and a logistic model for estimation of the proportion of safe individuals; and Cureregr8 instruction for study of its associated factors. STATA13 software was used for data analysis. Akaike information criterion (AIC) was used to compare the performance of these models.

Results: Parametric model of Weibull distribution had the lowest AIC (804.3171). Factors affecting long-term survival of the patients with Hodgkin's lymphoma, were hemoglobin > 10.5 (P-value = 0.018) and stage of the disease (P-value = 0.032). Factors affecting short-term survival of the patients included age > 30 years (P-value = 0.001), involvement of the groin site (P-value = 0.010) Stage of disease (P-value < 0.001) and bone marrow involvement (P-value = 0.003).

Conclusion: When the study population includes two susceptible and non-susceptible (safe or healed) subgroups in regard to recurrence of Hodgkin's lymphoma, use of cure models for separate evaluation of the variables associated with the long and short term survival and cure rates is appropriate.

Keywords: Hodgkin lymphoma, Survival analysis, Cure fraction, Recurrence, Mixture parametric model, Non-mixture parametric model

Received: Dec 8, 2018

Accepted:Mar 3, 2019

How to cite the article: Elhaei A, Saki Malehi A, Seghatoleslam M. Evaluation of prognostic factors affecting long and short term survival rates of Hodgkin's lymphoma patients using the cure fraction models. SJKU 2019; 24 (1): 66-77.

بررسی عوامل موثر در بقای بلند مدت و کوتاه مدت بیماران مبتلا به لنفوم هوچکین با استفاده از مدل-سازی کسر شفایافتگی

امیر الهائی^۱، امل ساکی مالحی^۲، محمد ثقت الاسلام^۳

۱. کارشناس ارشد آمار زیستی، گروه آمار زیستی و اپیدمیولوژی، دانشکده بهداشت، دانشگاه علوم پزشکی جندی شاپور اهواز، اهواز، ایران.
۲. استادیار آمار زیستی و اپیدمیولوژی، گروه آمار زیستی و اپیدمیولوژی، دانشکده بهداشت، دانشگاه علوم پزشکی جندی شاپور اهواز، اهواز، ایران، (نویسنده مسئول) تلفن ثابت: ۰۶۱-۳۱۶۱۵۳۳۱، ایمیل: amalsaki@gmail.com
۳. فوق تخصص آنکولوژی، دانشکده پزشکی، دانشگاه علوم پزشکی جندی شاپور اهواز، اهواز، ایران.

چکیده

زمینه و هدف: مطالعه حاضر عوامل موثر بر زمان تا تجربه عود در بیماران مبتلا به لنفوم هوچکین را با در نظر گرفتن کسر شفایافتگی مورد تجزیه و تحلیل قرار داده است.

روش بررسی: در این مطالعه گذشته‌نگر، پرونده تمامی بیماران مرکز آنکولوژی و هماتولوژی بیمارستان شفای شهرستان اهواز با تشخیص لنفوم هوچکین، در بازه زمانی ۱۳۹۱-۱۳۸۱، بررسی شد. برای پاسخ به سوال "چرا بعضی افراد حاضر در مطالعه در مقابل پیشامد موردنظر این هستند؟" مدل‌های آنالیز بقاء همراه با کسر شفایافتگی به کار گرفته شد که تا کنون در کشور مطالعه‌ای مبنی بر بررسی میزان شفایافتگی بیماری هوچکین صورت نگرفته است. مدل‌های شفایافت آمیخته و ناامیخته با استفاده از توزیع‌های واibel، نمایی، لگ - نرمال، لگ - لجستیک و گاما و یک مدل لجستیک برای برآورد نسبت افراد اینم و بررسی عوامل مرتبط با آن با استفاده از دستور Cureregr8 در محیط نرم افزار STATA13 به داده‌ها برآش شد. برای مقایسه کارایی این مدل‌ها از ملاک اطلاع آکائیک استفاده شد.

نتایج: مدل پارامتری آمیخته با توزیع واibel دارای کمترین مقدار معیار آکائیک ($804/3171$) بود. عوامل موثر بر بقای بلندمدت، هموگلوبین بالای $10/5 = 0/018$ (P-value = $0/032$) و مرحله بیماری است (P-value = $0/010$). عوامل موثر بر بقای کوتاه مدت بیماران سن بالای 30 سال ($0/001$)، درگیری در محل کشاله ران (P-value = $0/001$)، مرحله بیماری ($0/001$) و درگیری مغز استخوان (P-value = $0/003$) هستند.

نتیجه‌گیری: در وضعیت‌هایی که جامعه مورد بررسی شامل دو زیر گروه مستعد و غیر مستعد (ایمن یا شفایافتگی) برای واقعه مورد نظر (عود از بیماری لنفوم هوچکین) باشد، استفاده از مدل شفایافتگی به منظور بررسی جداگانه متغیرهای مرتبط با نسبت شفایافتگی و نیز توزیع زمان آن واقعه برای افراد مستعد مناسب است.

واژگان کلیدی: لنفوم هوچکین، آنالیز بقاء، کسر شفایافتگی، عود، مدل پارامتری آمیخته، مدل پارامتری ناامیخته

وصول مقاله: ۹۷/۹/۱۷ اصلاحیه نهایی: ۹۷/۱۲/۸ پذیرش: ۹۷/۱۲/۱۲

مقدمه

نسبت بیمارانی است که در جامعه مورد مطالعه رویداد مورد نظر را تجربه نمی‌کنند. این افراد را اصطلاحاً گروه بهبودیافته^۵ می‌نامند. در چنین وضعیتی که دوره‌ی پیگیری طولانی است و نسبتی از بیماران از رخداد مورد انتظار این هستند، میزان سانسور شدگی افزایش یافته و در نتیجه میزان بقای برآورد شده از روش‌های متداول، بیش برآش می‌شود. یکی از روش‌های مدلسازی مطالعات بقای طولانی مدت^۶، استفاده از مدل‌های شفایافته^۷ می‌باشد (۸). یکی از مهم‌ترین موارد مدنظر متخصصین بالینی، پیش‌بینی زمان عود^۸ لنفوم هوچکین می‌باشد. این بیماری در بازه زمانی کمی پس از اتمام درمان اولیه، عود می‌کند. نیمی از موارد عود بیماری در ۲ سال اولیه درمان اتفاق می‌افتد و بالغ بر ۹۰٪ موارد عود پیش از ۵ سال رخ داده و وقوع عود پس از ۵ سال، نادر است. به عبارت دیگر، پس از ۵ سال، خطر ابتلا به این بیماری همانند خطر ابتلا برای افراد عادی می‌باشد (۹). اگر عود را به عنوان یک پیشامد در نظر بگیریم، بیمارانی که هیچ گاه پیشامد عود را تجربه نکنند، گروه ایمن (شفایافته) هستند. با توجه به اهمیت رویداد عود این بیماری، با فرض دو زیر گروه مستعد و ایمن برای جامعه بیماران لنفوم هوچکین، می‌توان از مدل شفایافته پارامتری برای بررسی فاصله زمانی بین تشخیص تا عود بیماری و تأثیر عوامل مختلف بر این فاصله زمانی استفاده کرد.

روش بررسی: (تعداد=۲۵۴)

در این مطالعه گذشته نگر، پرونده‌ی تمامی بیمارانی که با تشخیص لنفوم هوچکین و در بازه زمانی فور درین ماه ۱۳۸۱ لغایت اسفند ماه ۱۳۹۱ به مرکز آنکولوژی و هماتولوژی بیمارستان شفای شهر اهواز، در استان خوزستان، مراجعه

سرطان‌ها به دلیل عوارض جبران ناپذیر و هزینه‌های زیاد تشخیص و درمان جایگاه ویژه‌ای در برنامه‌های نظام سلامت دارند (۱). میزان بروز سرطان در کشور ما در مقایسه با آمریکا^{۱۵} برابر و در مقایسه با اروپای غربی^{۱۲} برابر می‌باشد (۲). با وجود روش‌های درمانی بدون جراحی سرطان‌ها، این بدخیمی‌ها پس از اتمام دوره مرسوم درمانی دوباره عود می‌کنند و شماری دیگر پس از طی دوره‌های درازمدت، نسبت به این درمان‌ها مقاوم می‌شوند. بر اساس شواهد در دسترس، نقش آشکار سیستم ایمنی و لنفوسيت‌ها در کنترل و ازبین بردن سرطان قابل توجه است. به همین دلیل، امروزه هدف بسیاری از روش‌های درمانی بالینی، دست ورزی‌های سیستم ایمنی و ارتقای آن است (۳). لنفوم‌ها^۱ (سرطان‌های غدد لنفاوی) حاصل بدخیم شدن لنفوسيت‌ها می‌باشد و به دو دسته‌ی اصلی لنفوم هوچکین^۲ و لنفوم غیرهوچکین^۳ تقسیم می‌شوند. مطالعات بسیاری در زمینه سبب شناسی لنفوم هوچکین انجام شده است. از جمله دلایل مطرح درباره علت ابتلا به این بیماری عفونت با ویروس ابشتاین بار^۴ است (۴). میزان بروز این بیماری در کشورهای پیشرفته و در میان مردان بیشتر ولی در کشورهای آسیایی کمتر است (۵). بر اساس تحقیقات انجام شده طی سال‌های ۲۰۰۹-۲۰۱۳ در آمریکا، میزان بروز این بیماری از هر ۱۰۰ هزار نفر ۲/۶ مورد گزارش شده است (۶). برای تحلیل داده‌های بقای بیماران، روش‌های نیمه پارامتری و پارامتری رایج‌ترین کاربرد را دارند. علی‌رغم محدودیت‌های کم مدل‌های نیمه‌پارامتری نسبت به مدل‌های بقای پارامتری توان کمتری دارند (۷). در بسیاری از تحقیقات پژوهشکی موضوع مورد علاقه، برآورد

^۵Immune/cure

^۶Long-term survival

^۷Cure models

^۸Relapse

^۱Lymphoma

^۲Hodgkin

^۳Non-hodgkin

^۴EBV(Epstein-Barr virus)

که $(t)S_u$ تابع بقای افراد در معرض خطر می باشد (۱۱). این تابع در مدل های پارامتری می تواند وایل^۴، نمایی^۵، لگ^۶- نرمال^۷ و لگ- لجستیک^۸ و گاما^۹ باشد (۱۲). در تحلیل داده های بقا فرض بر این است که با گذشت زمان تمامی افراد در معرض خطر، پیشامد مورد نظر را تجربه می کنند و در نتیجه تابع خطر تجمعی تا بی نهایت افزایش می یابد. در صورتی که با حضور افراد شفایافته، با افزایش زمان، تابع بقاء صفر نشده و درنتیجه تابع خطر تجمعی نیز تا بی نهایت افزایش نخواهد یافت. بدین ترتیب برای محدود کردن تابع خطر تجمعی از حاصل ضرب یک پارامتر در یک تابع توزیع تجمعی استفاده می شود که افزایش زمان موجب کراندار شدن تابع خطر تجمعی در مدل های شفایافته ناآمیخته می گردد. این مدل ها نیز همچون مدل های آمیخته دارای فرم های پارامتری و نیمه پارامتری^{۱۰} کاکس می باشند در مدل های ناآمیخته میزان اختلاف تابع توزیع تجمعی با مقدار یک، نسبت افراد شفایافته را نشان می دهد. در چنین حالتی تابع بقاء به صورت زیر می باشد

$$S(t) = p^{1-S(t)}$$

که $(t)S$ تابع بقای افراد در معرض خطر می باشد و در این مدل های ناآمیخته پارامتری می تواند وایل، نمایی، لگ- نرمال، لگ- لجستیک و گاما باشد (۱۳). برای آزمون وجود افراد شفایافته، نسبت افراد با زمان سانسور شدگی بزرگتر از آخرین زمان وقوع پیشامد می باشد که فرضیه مربوط به آن را می توان به صورت $H_0: \pi = 1$ نوشت. در این آزمون، تحت فرض صفر بیمار با بقای طولانی مدت وجود ندارد و تمام بیماران در معرض وقوع پیشامد هستند. این فرض با روش آزمون درست نمایی، تحلیل می شود (۱۴). برای بررسی پیش فرض آزمون کافی بودن مدت زمان

کرده بودند، مورد بررسی قرار گرفت. تشخیص بالینی در گیری لنف نودهای بیماران توسط دو پاتولوژیست مختلف مرکز مورد تأیید قرار گرفت. در طی این مطالعه، پروندهای بیماران بررسی شده و وضعیت نهایی بیمار از لحاظ وقوع مرگ یا عود مشخص و ثبت گردید. اطلاعات اولیه شامل متغیرهای دموگرافیک، مرحله سرطان، لنف نودها و ارگان در گیر در زمان تشخیص و نوع درمان، مورد ارزیابی و بررسی قرار گرفتند. معیار خروج افراد از مطالعه ناقص بودن پروندهای کلینیکی آنها بوده است. در مجموع ۳۸۹ بیمار وارد مطالعه شدند. ۱۳۵ پرونده به علت اطلاعات ناقص از مطالعه خارج شدند. در نهایت از ۲۵۴ پرونده استفاده شد. بیماران پیگیری شده دارای پرونده بایگانی بیمارستان نیز بوده و آدرس و شماره تلفن برای پیگیری های بعدی وجود داشت. در این مطالعه سعی بر حفظ اسرار بیماران بوده و تمامی ملاحظات اخلاقی (کد اخلاقی IR.AJUMS.REC.1397.329) رعایت شده است.

روش های تجزیه و تحلیل آماری

مدل های شفایافته به دو دسته‌ی کلی مدل های شفایافته آمیخته^۱ و مدل های شفایافته ناآمیخته^۲ تقسیم‌بندی می شوند (۱۰). در مدل های شفایافته آمیخته، فرض بر این است که جامعه به صورت ناهمگن از دو زیر جامعه (افراد در معرض خطر و افراد مصون) تشکیل شده است. در این مدل فرض می شود هر فرد با احتمال p در معرض خطر تجربه‌ی پیشامد موردنظر باشد و با احتمال $1-p$ در زیر جامعه شفایافته قرار گیرد. برای مدل سازی چنین داده هایی، از تابع آمیخته‌ای استفاده می شود که تابع بقای آن برای افراد مصون یک و برای افراد در معرض خطر، یکی از توابع متداول مانند لجستیک^۳ باشد. تابع بقا برای این مدل عبارت است از:

$$S(t) = \{p + (1-p)S_u(t)\}$$

¹Mixture

²Non-mixture

³Logistic

⁴Weibull
⁵Exponential
⁶Log-normal
⁷log-logistic
⁸Gamma
⁹semi-parametric

بررسی (۶۳/۴٪) ۱۶۱ نفر از افراد در محل گردن، (۷/۱٪) ۱۸ نفر از افراد در زیر بغل، (۴/۳٪) ۱۱ نفر از افراد در محل کشاله ران و (۱۶/۵٪) ۴۲ افراد در سایر مکان‌ها درگیری داشتند. درگیری مغز استخوان در (۷۴/۸٪) ۱۹۰ نفر از بیماران گزارش شده است. رژیم شیمی درمانی (۱۰/۶٪) Standford V^۵ بوده است (جدول ۱).

در صد افرادی که بقای طولانی مدت دارند و بعد از ۲۰ سال از شروع پیگیری زنده مانده اند، برابر ۲۴/۵٪ و با اطمینان ۹۵٪ در محدوده (۲۹٪، ۱۹٪) قرار دارند. آزمون وجود بیماران با بقای بلند مدت با روش پیشنهادی مالر^۶ و ژو^۷ انجام شد. همچنین از ۲۵۴ بیمار تحت درمان ۱۰۰ زمان مرگ سانسور نشده وجود دارد. بنابراین سانسور شدگی ۶۰/۶٪ می‌باشد. این اطلاعات با جدول پیشنهادی مالر و ژو منطبق شد و تحت توزیع نمایی با میانگین ۱۰/۵ و حجم نمونه ۲۵۴، در جدول مربوطه (نزدیک‌ترین تخمین‌ها) فرض وجود بیماران با بقای بلند مدت، در سطح معنی‌داری ۰/۰۱، پذیرفته شد. در بین تمام مدل‌ها، مدل‌های آمیخته دارای کمترین مقدار ملاک‌های AIC و بودند. از بین مدل‌های آمیخته، مدل شفایافته آمیخته وایبل و ایکس مقدار AIC بود. در نتیجه مدل شفایافته آمیخته وایبل، بهترین مدل پارامتری برای بررسی اثر متغیرهای اثرگذار بر زمان عود بیماران مبتلا به لنفوم هوچکین می‌باشد (جدول ۲). بنابراین نتایج حاصل از برآش این مدل گزارش می‌شود. نتایج حاصل از برآش مدل آمیخته وایبل در حضور کسر شفایافتگی، متغیرهای پیش‌گو و تابع ربط لوجیت در جدول شماره ۳ نشان داده شده است. در زیر جامعه افراد با بقای بلند مدت، هموگلوبین بیشتر از ۱۰/۵ نسبت به هموگلوبین کم-تر از ۱۰/۵، بخت ایمن شدن بیماران را ۳ برابر افزایش می-دهد ($P\text{-value} = 0/018$ ؛ $\text{CI} \% ۹۵: 0/192 - 2/052$) (OR = ۳/۰۷). از طرفی، مرحله سوم و چهارم بیماری نسبت

مطالعه‌ی مالر و ژو براساس مدل سانسور شدگی مستقل و هم توزیع و با فرض سانسور شدگی نمایی و یکنواخت^۱، با استفاده از روش شبیه‌سازی^۲ جدول‌هایی را برای این منظور تهیه کرده‌اند. در این روش، مقدار آماره‌ی به دست آمده را با مقدار بحرانی مرتبط با حجم نمونه و در صد بیماران سانسور شده مقایسه می‌کنند (۱۵). سوال عمدی در این پژوهش این بود که چرا بعضی افراد حاضر در مطالعه در مقابل پیشامد مورد نظر ایمن یا شفایافته هستند؟ برای پاسخ به این سوال و با توجه به ساختار داده‌ها مدل‌های آنالیز بقا همراه با کسر شفایافتگی به کار گرفته شدند. مدل‌های شفایافته آمیخته و ناآمیخته با استفاده از توزیع‌های وایبل، نمایی، لگ-نرمال، لگ-لجرستیک و گاما و یک مدل لجرستیک برای برآورد نسبت افراد ایمن و بررسی عوامل مرتبط با آن به داده‌ها برازش شد. برای مقایسه کارایی این مدل‌ها از ملاک اطلاع آکاییک^۳ استفاده شد. تفسیر ضرایب در زیر مدل شفایافته و بقای کوتاه مدت بر اساس دستورالعمل ارائه شده توسط اتاس^۴ و همکاران انجام شد (۲۰). متغیرهای کمی به صورت میانگین، انحراف معیار، حداقل و حداکثر و متغیرهای کیفی نیز به صورت تعداد (درصد) گزارش شده‌اند. تحلیل توصیفی داده‌ها با استفاده از نرم افزار SPSS نسخه ۲۲ صورت گرفت. مدل‌سازی نرخ شفایافتگی با استفاده از مدل‌های آمیخته و ناآمیخته با استفاده از دستور Cureregr8 در محیط نرم‌افزار STATA نسخه ۱۳ انجام شد.

یافته‌ها

۵۷٪ بیماران مرد و بقیه زن بودند. میانه سنی کل افراد حاضر (۷۵-۳۲۴ سال) بود. در میان بیماران، (۷/۶٪) ۱۷۲ نفر زیر ۳۰ سال و بقیه افراد بالای ۳۰ بودند. سطح هموگلوبین (۱/۴۶٪) ۱۱۷ نفر از افراد زیر ۱۰/۵ بود. در نمونه تحت

¹Uniform

²Simulation

³Akaike information criterion

⁴Other

(P-value = .۰۰۰۱)، درگیری در محل کشاله ران P- (P-value = .۰۰۱۰)، مرحله بالای بیماری ($< .۰۰۰۱$) (P-value = .۰۰۰۳) و درگیری مغز استخوان (P-value = .۰۰۰۴) می باشد.

به مرحله اول و دوم، بخت اینمی را کاهش می دهد ; CI % ۹۵ : (-۰/۹۸۸ - ۰/۳۰۴) ; P-value = .۰۰۰۸ (OR = .۰۳۲) در زیر مدل بقای کوتاه مدت، برای بیمارانی که در زیر جامعه "مستعد" قرار دارند، سن بالای ۳۰ سال

جدول ۱. فراوانی و فراوانی نسبی متغیر های اثر گذار بر بقای کوتاه مدت و بلند مدت بیماران مبتلا به لنفوم هوچکین

متغیر	تعداد(درصد)	متغیر	تعداد(درصد)	متغیر
مرحله بیماری				
(٪ ۴۸/۸) ۱۲۴	I+II مرحله	(٪ ۵۷/۹) ۱۴۷		مرد
(٪ ۴۰/۲) ۱۰۲	III+IV مرحله	(٪ ۴۲/۱) ۱۰۷		زن
(٪ ۱۱) ۲۸	مشخص نشده			سن(سال)
شیمی درمانی				
(٪ ۱۰/۶) ۲۷	Standford V رژیم	(٪ ۳۱/۵) ۸۰		کمتر از ۳۰ سال
(٪ ۸۵/۵) ۲۱۸	ABVD ^۱ رژیم	(٪ ۰/۰/۸) ۲		سال و بیش تر
(٪ ۳/۵) ۹	مشخص نشده			مشخص نشده
هموگلوبین				
درگیری مغز استخوان				
(٪ ۷۴/۸) ۱۹۰	دارد	(٪ ۵۳/۵) ۱۳۶		کمتر از ۱۰/۵
(٪ ۱۵/۴) ۳۹	ندارد	(٪ ۰/۰/۴) ۱		و بیش تر
(٪ ۹/۸) ۲۵	مشخص نشده			مشخص نشده
محل درگیری				
نمونه برداشی				
(٪ ۸۱/۵) ۲۰۷	CHL ^۲	(٪ ۷/۱) ۱۸		گردن
(٪ ۱۰/۲) ۲۶	NLPHL ^۳	(٪ ۴/۳) ۱۱		زیر بغل
(٪ ۸/۳) ۲۱	مشخص نشده	(٪ ۱۶/۵) ۴۲		کشاله ران
		(٪ ۸/۷) ۲۲		سایر مکان ها
				مشخص نشده

^۱ Adriamycin, Bleomycin, Vinblastin, Dacarbazine(ABVD)

^۲ Classical Hodgkin's Lymphoma (CHL)

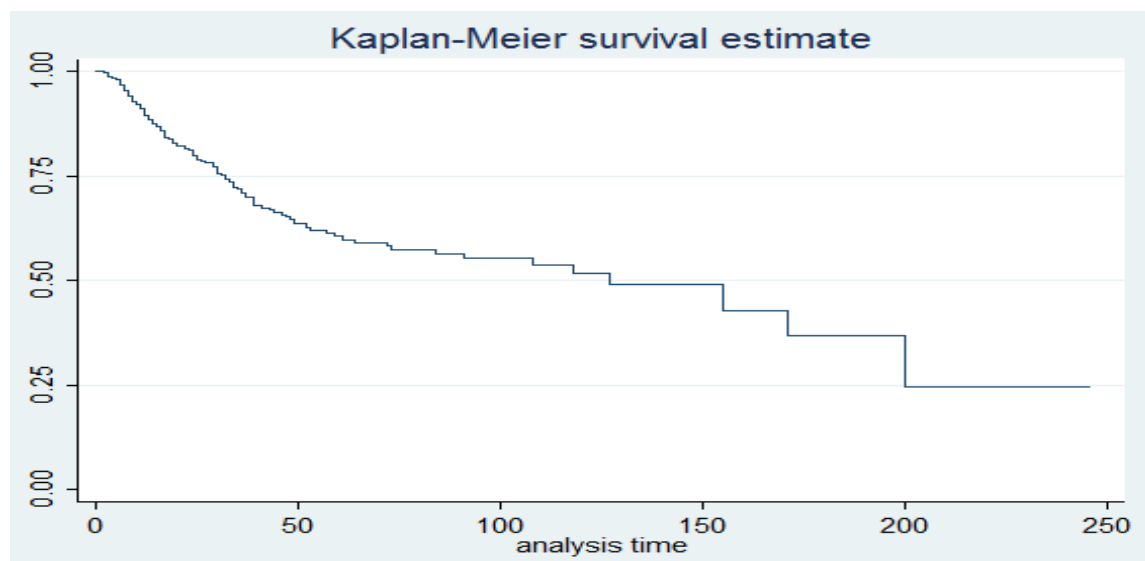
^۳ Nodular Lymphocyte Predominant Hodgkin's Lymphoma (NLPHL)

جدول ۲. شاخص های مقایسه ای برای توزیع های پارامتری مدل های شفایافته آمیخته و نا آمیخته

AIC	توزیع	مدل
۸۰۹/۶۸۴۹	نمایی	آمیخته
۸۱۲/۰۹۶۹		نا آمیخته
۸۰۴/۳۱۷۱	وابل	آمیخته
۸۰۵/۲۱۲۱		نا آمیخته
۸۰۸/۲۲۷۶	لگ-لوجستیک	آمیخته
۸۰۹/۴۳۳۱		نا آمیخته
۸۰۹/۱۴۴۴	لگ-نرمال	آمیخته
۸۱۲/۴۷۷۳		نا آمیخته
۸۰۶/۴۷۴۲	گاما	آمیخته
۸۰۷/۸۲۲۸		نا آمیخته

جدول ۳. مدل شفایافته آمیخته وابل

P-value	OR	% ۹۵ اطمینان حدود	(خطای معیار) ضریب	متغیر
۰/۵۸۳	۰/۷۸	(-۱/۱۵۵ ، ۰/۶۵۰)	-۰/۲۵۲(۰/۴۶۰)	جنسیت: مرد
۰/۳۲۲	۰/۵۹	(-۱/۵۸۹ ، ۰/۵۲۱)	-۰/۵۳۳(۰/۵۳۸)	سن: بالای ۳۰
۰/۰۱۸	۳/۰۷	(۰/۱۹۲ ، ۲/۰۵۲)	۱/۱۲۲(۰/۴۷۴)	هموگلوبین: < ۱۰/۵
۰/۷۵۴	۱/۱۸	(-۰/۸۸۶ ، ۱/۲۲۳)	۰/۱۶۹(۰/۵۳۸)	درگیری گردن: دارد
۰/۷۳۴	۱/۳۵	(-۱/۴۴۸ ، ۱/۰۵۷)	۰/۳۰۴(۰/۸۹۴)	درگیری زیر بغل: دارد
۰/۲۵۷	۰/۱۸	(-۴/۶۳۷ ، ۱/۲۲۸)	-۱/۶۹۹(۱/۴۹۹)	درگیری کشاله ران: دارد
۰/۹۶۶	۰/۹۶	(-۱/۹۳۴ ، ۱/۸۵۲)	-۰/۰۴۱(۰/۹۶۶)	نمونه برداری: CHL
۰/۰۰۸	۰/۳۲	(-۱/۹۸۸ ، ۰/۰۳۰)	-۱/۱۴۶(۰/۴۲۹)	مرحله بیماری: ۴ و ۳
۰/۰۵۹	۲/۸۸	(-۰/۰۴۹ ، ۲/۱۵۵)	۱/۰۵۷(۰/۰۵۹)	درگیری مغز استخوان: دارد
۰/۲۲۰	۳/۳۷	(-۰/۷۷۷ ، ۳/۱۵۹)	۱/۲۱۶(۰/۹۹۱)	شیمی درمانی: ABVD
۰/۱۶۱	۰/۲۱	(-۳/۷۶۷ ، ۰/۰۶۲)	-۱/۵۷۱(۱/۱۲۰)	ثابت
P-value	Z	% ۹۵ اطمینان حدود	(خطای معیار) ضریب	متغیر
۰/۳۴۷	-۰/۹۴	(-۰/۶۹۷ ، ۰/۲۴۵)	-۰/۲۲۶(۰/۰۴۰)	جنسیت: مرد
۰/۰۰۱	-۳/۳۱	(-۱/۳۵۴ ، -۰/۳۴۷)	-۰/۸۵۱(۰/۰۲۵)	سن: بالای ۳۰
۰/۲۰۹	۱/۲۶	(-۰/۱۸۵ ، ۰/۰۸۴)	۰/۳۳(۰/۰۲۶)	هموگلوبین: < ۱۰/۵
۰/۰۷۸	-۱/۷۶	(-۰/۹۳۸ ، ۰/۰۵۰)	-۰/۴۴۳(۰/۰۲۵)	درگیری گردن: دارد
۰/۲۸۳	۱/۰۷	(-۰/۳۶۴ ، ۱/۲۴۷)	۰/۴۴۱(۰/۰۴۱)	درگیری زیر بغل: دارد
۰/۰۱۰	-۲/۵۹	(-۲/۰۲۵ ، -۰/۲۸۲)	-۱/۱۵۳(۰/۰۴۵)	درگیری کشاله ران: دارد
۰/۰۹۱	-۴/۳۵	(-۱/۷۵۲ ، ۰/۱۲۹)	-۰/۸۱۱(۰/۰۴۷)	نمونه برداری: CHL
<۰/۰۰۱	-۲/۹۶	(-۱/۳۴۹ ، -۰/۰۵۱)	-۰/۹۳(۰/۰۲۱)	مرحله بیماری: ۴ و ۳
۰/۰۰۳	-۱/۶۹	(-۱/۱۰۶ ، -۰/۰۲۵)	-۰/۶۶۵(۰/۰۲۲)	درگیری مغز استخوان: دارد
۰/۱۵۷	۱/۴۱	(-۰/۲۰۴ ، ۱/۲۶۴)	۰/۳۷۶(۰/۰۵۲)	شیمی درمانی: ABVD
<۰/۰۰۱	-۵/۳۴	(-۳/۳۴۱ ، -۱/۰۵۶)	-۲/۴۴۴(۰/۰۴۵)	ثابت



شکل ۱. نمودار برآورد بقای بیماران مبتلا به لنفوم هوچکین و تعیین زمان شفایافتگی با نمودار کاپلان-مایر

جدول ۴. مدل شفایافتنه ناآمیخته وایل

P-value	OR	حدود اطمینان ۹۵٪ (خطای معیار) ضریب	متغیر
جنسيت: مرد			
۰/۵۹۹	۰/۷۷	(-۱/۲۰۴ ، ۰/۶۹۵)	-۰/۲۵۵(۰/۴۸۴)
سن: بالاي ۳۰			
۰/۲۸۲	۰/۴۹	(-۱/۹۶۴ ، ۰/۵۷۳)	-۰/۶۹۶(۰/۶۴۷)
۰/۰۵۲	۳/۲۹	(-۰/۰۰۸ ، ۲/۳۹۵)	۱/۱۹۳(۰/۶۱۳)
۰/۷۲۱	۱/۲۲	(-۰/۸۸۱ ، ۱/۲۷۵)	۰/۱۹۷(۰/۵۵۰)
۰/۶۳۴	۱/۵۵	(-۱/۳۶۳ ، ۲/۲۳۹)	۰/۴۳۷(۰/۹۱۹)
۰/۳۲۴	۰/۲۱	(-۴/۵۹۰ ، ۱/۱۵۷)	-۱/۵۳۷(۱/۵۵۷)
۰/۸۹۸	۰/۸۶	(-۲/۴۴۲ ، ۲/۱۴۱)	-۱/۱۵۱(۱/۱۶۹)
۰/۰۰۹	۰/۳۰	(-۲/۱۰۵ ، -۰/۲۹۵)	-۱/۱۹۹(۰/۴۶۲)
۰/۰۹۸	۲/۸۶	(-۰/۱۹۲ ، ۲/۲۹۴)	-۱/۰۵۱(۰/۶۳۴)
۰/۲۲۳	۳/۶۳	(-۰/۷۳۴ ، ۳/۳۶۲)	۱/۲۸۹(۱/۰۵۸)
۰/۲۳۳	۰/۱۹	(-۴/۴۰۴ ، ۱/۱۷۴)	-۱/۶۶۵(۱/۳۹۷)
ثبت			
P-value	Z	حدود اطمینان ۹۵٪ (خطای معیار) ضریب	متغیر
۰/۳۹۹	-۰/۸۴	(-۰/۸۱۹ ، ۰/۳۲۶)	-۰/۲۴۶(۰/۲۹۲)
۰/۰۱۵	-۲/۴۴	(-۱/۷۹۵ ، -۰/۱۹۷)	-۰/۹۹۶(۰/۴۰۷)
۰/۲۲۵	۱/۲۱	(-۰/۳۱۸ ، ۱/۳۵۱)	۰/۵۱۷(۰/۴۲۶)
۰/۱۷۶	-۱/۳۵	(-۱/۰۳۰ ، ۰/۱۸۹)	-۰/۴۲۰(۰/۳۱۱)
درگيری گردن: دارد			

جنبشی

درگیری

جنبشی

جنبشی

۰/۳۱	۱/۰۱	(-۰/۴۸۰ ، ۱/۵۰۶)	۰/۵۱۳(۰/۵۰۷)	درگیری زیر بغل: دارد
۰/۰۳۳	-۲/۱۳	(-۲/۶۳۸ ، -۰/۱۰۹)	-۱/۳۷۴(۰/۶۴۵)	درگیری کشاله ران: دارد
۰/۲۰۳	-۱/۲۷	(-۲/۲۷۶ ، ۰/۴۸۴)	-۰/۸۹۶(۰/۷۰۴)	نمونه برداری: CHL
<۰/۰۰۱	-۴/۱۹	(-۱/۶۰۴ ، -۰/۵۸۲)	-۱/۰۹۳(۰/۲۶۱)	مرحله بیماری: ۴ و ۳
۰/۰۹۸	-۱/۶۵	(-۱/۰۳۲ ، ۰/۰۸۷)	-۰/۴۷۳(۰/۲۸۶)	درگیری مغز استخوان: دارد
۰/۲۷۴	۱/۰۹	(-۰/۵۲۵ ، ۱/۸۵۲)	۰/۶۶۴(۰/۶۰۶)	شیمی درمانی: ABVD
<۰/۰۰۱	-۳/۷۴	(-۴/۳۵۹ ، -۱/۳۶۰)	-۲/۸۵۹(۰/۷۶۵)	ثبت

شده است. در این مدل‌ها مفروضاتی متناسب با وجود کسر شفایاftه وجود ندارد. از طرفی، مهم‌ترین رویداد در این مطالعات زمان تا تجربه رویداد مرگ بوده و تاکنون مطالعه‌ای که تا تجربه‌ی رویداد عود را با استفاده از روش‌های آنالیز بقا مورد بررسی قرار داده باشد، انجام نشده است (۱۸-۲۰). در مطالعاتی که بر اساس شناسایی عوامل موثر بر زمان تا تجربه مرگ بیماران مبتلا به لنفوم هوچکین و با استفاده از روش‌های آنالیز بقای متداول انجام شده‌اند، متغیرهای سن بالا، رژیم شیمی درمانی، مرحله‌ی بالای بیماری و درگیری مغز استخوان از عوامل موثر بر زمان تا تجربه مرگ این بیماران تشخیص داده شدند (۲۱-۲۳). بسل^۱ و همکاران بقای بلند مدت بیماران مبتلا به لنفوم هوچکین بعد از درمان طی سال‌های ۱۹۷۳-۱۹۷۲ ۲۰۰۲ بررسی کردند، بقای ۱۵ ساله برای بیمارانی که طی سال‌های ۱۹۸۲-۱۹۷۳، ۱۹۹۲-۱۹۸۳ و ۱۹۹۳-۲۰۰۲ تشخیص داده شده بودند به ترتیب برابر با ۵۷٪، ۷۴٪ و ۸۳٪ بودند (P-value < ۰/۰۰۱) (۲۴).

گلمیلوس^۲ و همکاران بقای طولانی مدت بیماران جوان و میان سال مبتلا به لنفوم با استفاده از مدل‌های شفایاftه بررسی کردند. نسبت شفایاftگی ۸۹٪ و میانه زمان بقا برای بیماران شفایاftه ۴/۶ سال بدست آمد. مرگ و میر بیماران دارای عود، ۱۹٪ برابر (CI ۹۵٪: ۲۱-۳۱٪) مرگ و میر بیماران

بحث

عوامل موثر بر زمان تا تجربه‌ی یک رویداد (مرگ)، عود بیماری، تولد اولین فرزند) یکی از مهم‌ترین پیامدهای مورد علاقه در مطالعات بالینی است. روش آماری متناسب با ساختار چنین داده‌هایی آنالیز بقا می‌باشد (۱۶). علی‌رغم تنوع روش‌های آنالیز بقا و استفاده روزافزون از این روش‌ها، تسلط به ساختار داده‌ها و انتخاب مدل متناسب با این ساختار امری ضروری است. در صورتی که مجموعه داده تحت بررسی نسبت قابل توجهی از افراد ایمن را در خود داشته باشد، روش‌های تحلیل بقای متداول برای این داده‌ها نادرست و گمراه کننده است (۱۷). در این مطالعه با توجه به ساختار داده‌های حاصل از پیگیری ۲۰ ساله‌ی بیمار مبتلا به لنفوم هوچکین، به مدل‌سازی کسر شفایاftگی با استفاده از مدل‌های پارامتری آمیخته و ناامیخته پرداخته و کارایی مدل‌ها مقایسه شده است. در مطالعه‌ی حاضر عوامل موثر بر بقای بلند مدت بیماران مبتلا به لنفوم هوچکین، همگلوبین بالای ۱۰/۵ و مرحله بیماری بودند. از طرفی عوامل موثر بر بقای کوتاه مدت بیماران، سن بالای ۳۰ سال، درگیری در محل کشاله ران، مرحله‌ی بیماری و درگیری مغز استخوان می‌باشند. در اکثر مطالعات انجام شده در زمینه شناسایی عوامل موثر بر بقای بیماران مبتلا به لنفوم هوچکین از روش‌های آنالیز بقای متداول پارامتری و ناپارامتری نظریه مدل مخاطرات متناسب کاکس و مدل اسپلاین استفاده

¹Bessell

²Glimelius

³Spline

تشکر و قدردانی

محققین لازم می‌دانند مراتب سپاس و قدردانی خود از معاونت پژوهشی دانشگاه علوم پزشکی جندی شاپور اهواز، به دلیل تشخیص ضرورت طرح و تأمین بستر مناسب جهت انجام آن را، ابراز دارند.

بدون عود حاصل شد (۲۵). در این مطالعه مدل شفایافته واپیل به عنوان بهترین مدل برای بررسی اثر بقای بلند مدت و کوتاه مدت بیماران مبتلا به لنفوم هوچکین تعیین شد. تاکنون تعدادی از پژوهش‌های انجام شده در کشور با استفاده از مدل‌های شفایافته به تجزیه و تحلیل اطلاعات بقای بیماران مبتلا به سرطان‌ها و سایر بیماری‌ها با در نظر گرفتن رویداد مرگ، پرداخته‌اند. خوبی و همکاران در یک مطالعه از مدل‌های شفایافته در تعیین عوامل خطر و نیز عوامل موثر بر سلامت بیماران مبتلا به تالاسمی مژوز استفاده کردند. محققان در این مطالعه نتیجه‌گیری کردند مدل شفایافته ناآمیخته لگک-نرمال بهترین مدل برای تعیین عوامل خطر بیماری تالاسمی مژوز می‌باشد (۲۶). در مطالعه‌ای دیگر محمدی و همکاران در بررسی دقیق‌تر فاصله ازدواج تا تولد اولین فرزند و تعیین عوامل موثر بر این فاصله، با در نظر گرفتن حضور زنان نابارور در نمونه و مدل‌های شفایافته با رویکرد بیزی پرداختند. این محققان در مطالعه خود نتیجه‌گیری کردند مدل شفایافته گمپرتز روشی مناسب در بررسی فاصله تولد اولین فرزند و یافتن عوامل موثر بر این فاصله است (۲۷).

نتیجه‌گیری

نتایج این پژوهش نشان داد که مدل‌های شفایافته می‌توانند به عنوان مدلی مناسب برای تحلیل بقای بیماران لنفوم هوچکین به کار روند و لذا استفاده از این مدل‌ها در تحلیل بقای داده‌های شفایافته برای سایر محققین نیز پیشنهاد می‌شود. در عین حال پیشنهاد می‌شود که باز تحلیل این داده‌ها با استفاده از روش‌های جانه‌ی^۱ انجام و با نتایج این مطالعه مقایسه شود.

¹Impputation

Reference

1. Rostami C, Asadollahi K, Sayehmiri K, Cheraghi M. Incidence rate of gastric cancer and its relationship with geographical factors using GIS in Khuzestan Province between 2009 and 2013. SJKU 2017;22: 129-39. [In Persian]
2. Mirsadraee S, Farzadnia M, Heidary F, Rahimi M, Jabbari NH, Kakhi S. A comparative immunohisto chemical diagnosis of Hodgkin's lymphoma with conventional method. MUMS 2011;53:214-21. [In Persian]
3. Noori-Daloii MR, Rahimi Rad N, Kavoosi S. CAR T- cells: Novel targeted therapies in cancer. JSUMS 2018;25:1-11. [In Persian]
4. Küppers R, Engert A, Hansmann ML. Hodgkin lymphoma. J Clin Invest 2012;122:3439-47.
5. Salati M, Cesaretti M, Macchia M, El Mistiri M, Federico M. Epidemiological overview of Hodgkin lymphoma across the mediterranean basin. Mediterr J Hematol Infect Dis 2014; 6: e2014048.
6. Szabo SM, Hirji I ,Johnston KM, Juarez-Garcia A, Connors JM. Treatment patterns and costs of care for patients with relapsed and refractory Hodgkin lymphoma treated with brentuximab vedotin in the United States: A retrospective cohort study. PloS One 2017;12:e0180261.
7. Ghasemi E, Baghban AA, Baghestani A, Asgary S. Considering time-interaction terms using parametric survival models for interval-censoring data. Epidemiol Biostat Public Health 2017;14: e12134-1- e12134-5.
8. De Oliveira RP, Menezes AFB, Mazucheli J, Achcar JA. Mixture and nonmixture cure fraction models assuming discrete lifetimes: Application to a pelvic sarcoma dataset. Biom J 2019; [Epub ahead of print].
9. Brockelmann PJ, Goergen H, Kohnhorst C, Von Tresckow B, Moccia A, Markova J, et al. Late relapse of classical hodgkin lymphoma: an analysis of the german Hodgkin study group HD7 to HD12 trials. J Clin Oncol 2017;35:1444-50.
10. Zhou J, Zhang J, Lu W. Computationally Efficient Estimation for the Generalized Odds Rate Mixture Cure Model with Interval-Censored Data. J Comput Graph Stat 2018;27:48-58.
11. Lambert P, Bremhorst V. Estimation and identification issues in the promotion time cure model when the same covariates influence long and short term survival. Biom J 2019 ;61:275-89.
12. Cox DR . Oakes D. Analysis of survival data. 1st ed, Routledge; 2018; 212.
13. Naseri P, Baghestani AR, Momenyan N, Akbari ME. Application of a mixture cure fraction model based on the generalized modified weibull distribution for analyzing survival of patients with breast cancer. Int J Cancer Manag 2018; In Press:e62863.
14. Ma X, Xiang L. Testing for the presence of a cure fraction in clustered interval□censored survival data. Aust Nz J Stat 2013;55:173-90.
15. Hoseini M, Bahrampour A, Mirzaee M. Comparison of weibull and lognormal cure models with cox in the survival analysis of breast cancer patients in Rafsanjan. J Res Health Sci 2017;17:e00369.
16. Kleinbaum DG, Klein M. Survival analysis: Springer; 2010.
17. Perdoná GC, Louzada-Neto F. A general hazard model for lifetime data in the presence of cure rate. J Appl Stat 2011;38:1395-405.

18. Elshenawy MA, Rauf MS, Elhassan TA, Maghfoor I, Akhtar S. Survival analysis of patients with Hodgkin lymphoma who failed high dose chemotherapy and autologous stem cell transplant. Ann Hematol 2018;97:1229-40.
19. Agreda-Vasquez G, Ramirez-Ibarguen A, Crespo-Solis E, Rivas-Vera M, editors. Survival analysis of patients with classical Hodgkin'S lymphoma treated with ABVD: results from two referral centers in mexico city. haematologica; Ferrata storti foundation via giuseppe belli 4, 27100 Pavia, Italy, 2017.
20. Lanoy E, Rosenberg PS, Fily F, Lascaux AS, Martinez V, Partisani M, et al. HIV-associated Hodgkin lymphoma during the first months on combination antiretroviral therapy. Blood 2011;118:44-9.
21. Jayashree S, Nirekshana K, Guha G, Bhakta-Guha D. Cancer chemotherapeutics in rheumatoid arthritis: A convoluted connection. Biomed Pharmacother 2018;102:894-911.
22. Ahmadzadeh A, Yekaninejad MS, Jalili MH, Bahadoram M, Efazat M, Seghatoleslami M, et al. Evaluating the survival rate and the secondary malignancies after treating Hodgkin's lymphoma patients with chemotherapy regimens. Int J Hematol Oncol Stem Cell Res 2014;8:21-6.
23. Martini V, Marconato L, Poggi A, Riondato F, Aresu L, Cozzi M, et al. Canine small clear cell/T zone lymphoma: clinical presentation and outcome in a retrospective case series. Vet Comp Oncol 2016;14:117-26.
24. Bessell E, Bouliotis G, Armstrong S, Baddeley J, Haynes A, O'connor S, et al. Long-term survival after treatment for Hodgkin's disease (1973–2002): improved survival with successive 10-year cohorts. Br J Cancer 2012;107: 531-6.
25. Glimelius I, Ekberg S, Jerkeman M, Chang ET, Björkholm M, Andersson TM, et al. Long-term survival in young and middle aged Hodgkin lymphoma patients in Sweden 1992–2009—trends in cure proportions by clinical characteristics. Am J Hematol 2015;90:1128-34.
26. Ali Akbari Khoei R, Bakhshi E, Azarkeivan A, Biglarian A. Application of cure models in survival analysis of thalassemia major disease. RJMS 2015; 22:71-9. [In Persian]
27. Mohammadi Farrokhran E, Mahmoodi M, Mohammad K, Rahimi A, Majlesi F, Parsaeian M. Study of factors affecting first birth interval using modified gompertz cure model in west Azerbaijan province, Iran. IRJE 2013;9:41-51. [In Persian]